

состоянии, и деформация будет равна  $-kT$ . Если стержень упругий, то в соответствии с законом Гука в нем появятся внутренние напряжения скатия

$$\sigma_z = -E k T.$$

### ГЛАВА 3

## ЭФФЕКТЫ ТЕПЛОВОГО УДАРА В ИМПУЛЬСНЫХ РЕАКТОРАХ НА БЫСТРЫХ НЕЙТРОНАХ

Тепловыделение в импульсных реакторах на быстрых нейтронах самогасящего действия настолько интенсивно и происходит за столь короткое время, что расширение металла активной зоны из-за механической инерции отстает от роста температуры. Часть тепловой энергии импульса преобразуется в энергию осцилляции топлива. Вибрации столь значительны, что некоторые реакторы после вспышки мощности даже звенят. В штуку можно сказать, что ИРСД подобен колоколу высокого тона (частота вибраций — несколько килогерц); роль языка, инициирующего звон, выполняет бустер реактивности.

В пульсирующем топливе возникают механические напряжения, которые накладываются на термические напряжения, вызванные пространственной неоднородностью поля температур. Суммарные напряжения в интенсивных вспышках достигают больших значений, а иногда и превосходят предел прочности материала. Во многих случаях были зафиксированы поломки отдельных элементов реактора и даже разрушение реактора без возможности его ремонта.

Последовательные сжатия и расширения топлива продолжаются, пока энергия колебаний не будет поглощена за счет внутреннего трения, обычно время затухания составляет несколько миллисекунд. После этого остаются лишь термические напряжения, обусловленные неравномерным нагревом, так как теплопередача за такое короткое время несущественна. Эффекты теплового удара ощущаются и в реакторах периодического действия, когда нагрев топлива за импульс достигает нескольких десятков градусов.

### § 3.1. КАЧЕСТВЕННОЕ РАССМОТРЕНИЕ ЯВЛЕНИЙ ТЕПЛОВОГО УДАРА. МЕТОДЫ АНАЛИЗА

Возьмем свободный тонкий металлический стержень ограниченной длины  $L$  и нагреем его мгновенно на  $T^\circ\text{C}$  (равномерно по длине). Длина стержня должна увеличиться на  $\alpha TL$ , однако силы инерции препятствуют быстрому расширению. Значит, стержень в первый момент окажется как бы в сжатом

стержень, наведенные тепловым импульсом.

Для оценки периода осцилляций рассмотрим механическую модель стержня в виде пружины с сосредоточенной массой (точнее, пружины с массами на обоих концах). Тогда ее масса  $m = L\rho/2$  (приведена к единице поперечного сечения), длина  $l = L/2$ , а жесткость  $k = 2E/L$ . Период колебаний массы

$$T = 2\pi \sqrt{m/k} = \pi L/c.$$

Здесь  $c = \sqrt{E/\rho}$  — скорость распространения продольной звуковой волны в материале стержня. Энергия упругого скатой пружины, очевидно, равна

$$E_{\text{упр}} = \frac{\widehat{k} u_{\text{макс}}^2}{2} = \frac{2E\alpha^2 T^2 L^2}{L \cdot 2 \cdot 2^2} = \frac{E\alpha^2 T^2 L}{4}.$$

Максимальную скорость частиц стержня-пружины получим, притравив упругую энергию кинетической ( $E_{\text{кин}} = mv^2/2$ ):

$$\frac{mv^2}{2} = \frac{E\alpha^2 T^2 L}{4}.$$

Отсюда

$$v = c\alpha T. \quad (3.1)$$

Пусть теперь нагрев стержня происходит не мгновенно, а за время  $\theta$ . Скорость удлинения стержня до равновесного значения без учета инерциальных сил равна, очевидно,  $\alpha TL/2\theta$ . Следовательно, влиянием инерции можно пренебречь, когда выполняется неравенство

$$\alpha TL/2\theta \ll ckT \quad \text{или} \quad \theta \gg L/c. \quad (3.2)$$

Подставляя в соотношение (3.2) данные, характерные для ИРСД ( $L \approx 20$  см,  $c \approx 3 \cdot 10^5$  см/с,  $\theta \approx 4 \cdot 10^{-5}$  с), можно убедиться, что оно не выполняется. Обычно длительность вспышки мощности в реакторе оказывается меньше или соизмеримой с периодом его собственных продольных упругих колебаний.

Используя и дальше модель стержня в виде пружины с сосредоточенной массой, получаем более детальное соотношение между инерциальными напряжениями и длительностью вспышки. Пусть нагрев стержня происходит по закону

$$T(t) = \begin{cases} 0, & \text{если } t \leq 0; \\ \frac{T_0}{2} (1 - \cos pt), & \text{если } 0 < t \leq \frac{\pi}{p}; \\ T_0, & \text{если } t \geq \pi/p. \end{cases} \quad (3.2')$$

Здесь полная длительность импульса равна  $T_0$ ,  $\theta = \pi/p$ , а энергия импульса равна  $T_0$ . Уравнение движения приведенной массы полустержня

$$\ddot{u} + \hat{k}u - E\kappa T(t) = 0, \quad (3.3)$$

где  $u$  — отклонение массы от начального положения, а отрицательный член — сила, растягивающая пружину, эквивалентная внутреннему напряжению в стержне при нагреве.

Решение этого уравнения с начальными условиями  $u=0$  и  $\dot{u}=0$ :

$$\frac{u}{u_0} = \begin{cases} \frac{1 - \cos pt}{2} + \frac{1}{2 \left( \frac{\omega^2}{p^2} - 1 \right)} (\cos \omega t - \cos pt) & \text{при } 0 < t < \frac{\pi}{p}; \\ 1 + \frac{1}{2 \left( \frac{\omega^2}{p^2} - 1 \right)} \left[ \left( 1 + \cos \frac{\omega t}{p} \right) \cos \omega \left( t - \frac{\pi}{p} \right) - \right. \\ \left. - \sin \frac{\omega t}{p} \sin \left( t - \frac{\pi}{p} \right) \right] & \text{при } t > \frac{\pi}{p}. \end{cases}$$

Здесь  $u_0 = \kappa T L / 2$  — статическое перемещение конца стержня (положительное значение  $\sigma$  соответствует растяжению);

$$\omega^2 = \hat{k}/m = 4E/\rho L^2, \quad \omega = 2c/L.$$

Напряжения в стержне равны сумме упругих сил и силы растяжения (положительное значение  $\sigma$  соответствует растяжению);

$$\sigma = \hat{k}u - E\kappa T(t).$$

Для отношения напряжения к напряжению при мгновенном нагреве  $\sigma_0 = E\kappa T_0$  имеем

$$\frac{\sigma}{\sigma_0} = \begin{cases} \frac{u}{u_0} - \frac{1 - \cos pt}{2} & \text{для } t < \frac{\pi}{p}; \\ \frac{u}{u_0} - 1 & \text{для } t > \frac{\pi}{p}. \end{cases}$$

На рис. 3.1 приведены зависимости  $\sigma/\sigma_0$  и  $u/u_0$  от времени при разных значениях  $\omega/p = T_p/T_n$ , где  $T_p = 2\theta$ , а  $T_n = 2\pi/\omega$  — период собственных колебаний стержня. При изменении  $T_p/T_n$  колебания становятся неустойчивыми.

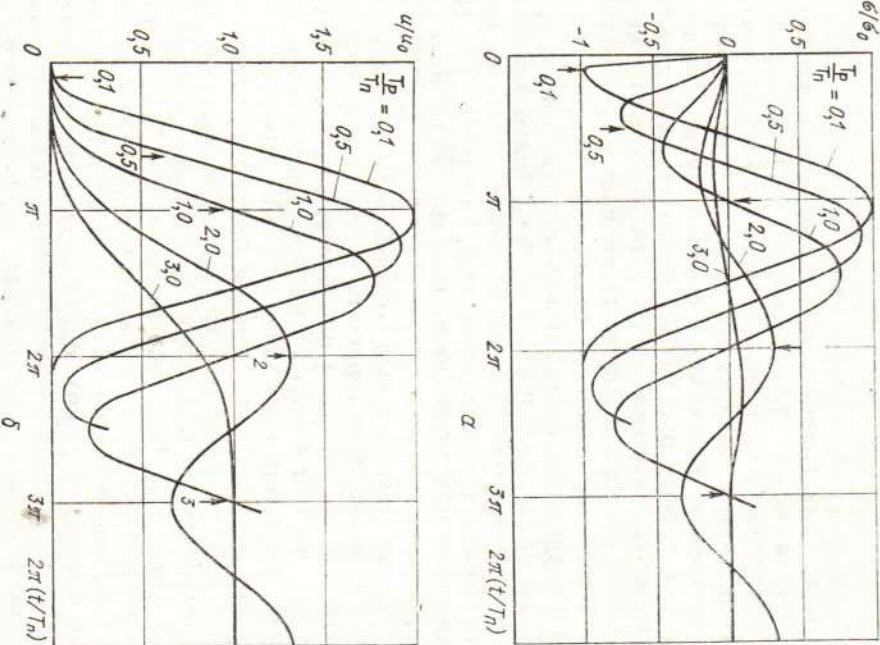


Рис. 3.1. Механические колебания реактора, возникающие в результате импульса мощности [2]:

$a$  — изменение инерциальных напряжений во времени ( $\sigma_0 = E\kappa T_0$ );  
 $b$  — изменение размера реактора ( $u_0 = \kappa T_0 R$ ) во времени ( $T_p/T_n = \omega/p$ );  
отношение ширины импульса тепловыделения к периоду собственных колебаний реактора; вертикальные стрелочки показывают конец импульса при соответствующем значении  $T_p/T_n$ .

от 0 до 1 максимальные смещения и напряжения близки к соответствующим значениям для мгновенного нагрева. Пока длительность импульса не превышает периода собственных свободных колебаний стержня ( $T_p/T_n \leq 2$ ), осцилляции размера

стержня и напряжений существуют. При  $T_p/T_n = 3$  смещения уже не превышают статического значения  $\alpha TL/2$ , а напряжения составляют менее 10% величины  $E\alpha T$ .

Теперь на основании этого простого анализа сформулируем основные положения, относящиеся к инерциальным эффектам.

1. В быстром нагреве, т. е. при  $T_p/T_n \gg 1$ , напряжения упругие колебания и напряжения, называемые *инерциальными*.

2. При заданной длительности тепловыделения инерциальные напряжения пропорциональны степени нагрева.

3. Напряжения зависят от длительности нагрева. Максимальное значение напряжения соответствует мгновенному нагреву и для равномерно нагреваемого стержня равно  $E\alpha T$ ; в других телах напряжения могут быть несколько больше. Если длительность нагрева не превышает примерно половины периода собственных звуковых колебаний тела, то напряжения неизменно отличаются от максимального значения.

4. Если продолжительность нагрева более чем в 3 раза превышает период собственных колебаний тела, то инерциальные напряжения и осцилляции незначительны (в сравнении с напряжением при мгновенном нагреве такой же интенсивности).

До сих пор разговор шел о свободном стержне. Если же стержень одним из своих торцов поконится на жестком основании (или разделен на две части или более, вплотную сжающихся друг друга), то при быстром нагреве происходит отделение стержня от основания (или разлет частей стержня).

Упругая энергия, запасенная в быстро нагретом стержне, полностью (при мгновенном нагреве) или частично (при медленном нагреве) переходит в кинетическую энергию поступательного движения. Так, сжатая пружина, будучи прижата к массивному основанию и отпущена, подпрыгивает на некоторую высоту. Скорость поступательного движения центра масс стержня (или частей стержня) определяется соотношением (3.1).

Подробный анализ эффекта «прыгающих» стержней дан в разделе, относящемся к реакторам периодического действия. В ИРСД во избежание неупругого смещения все элементы реактора обычно жестко скреплены между собой.

До сих пор анализировалось явление теплового удара на грубой модели упругого стержня-пружины с сосредоточенной массой. В действительности динамика сплошной упругой среды с температурными градиентами описывается уравнением (2.25) (см., например, [1]), в решении которого появляются в общем случае волны разрежения и сжатия. Перемещаясь в теле, они создают сложную динамическую картину напряженного состояния.

Для иллюстрации процесса возникновения и распространения упругих волн вновь обратимся к тонкому металлическому

стержню (рис. 3.2). В нагретом до температуры  $T$  стержне в момент  $t=0$  возникает напряжение сжатия, одинаковое всюду, кроме торцов, где оно равно 0 (см. рис. 3.2, эпюра 1). Вследствие градиента напряжения торцы начинают двигаться. Изменение плотности среды на торцах приводит к появлению градиента напряжения и движению частей стержня, удаленных от торца (см. рис. 3.2, эпюры 2, 3). Фронт напряжения перемещается, таким образом, к центру стержня; скорость перемещения равна скорости звука в среде  $c = \sqrt{E/\rho}$ . Через время  $t=L/2c$

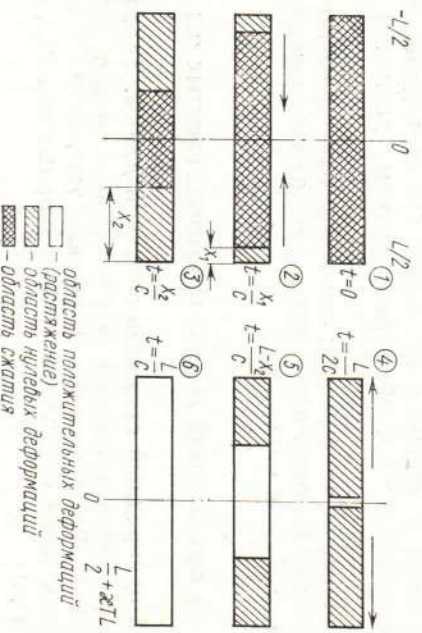


Рис. 3.2. Схема распространения волн упругих деформаций в стержне, подвергнутом быстрому нагреву в момент  $t=0$

волны разрежения дойдут до центра стержня (см. рис. 3.2, эпюра 4); напряжение будет везде равно нулю, кроме центральной точки  $x=0$ , где вследствие сложения двух волн разрежения оно отрицательно. Центр становится источником новой волны разрежения, расходящейся к торцам. Эта волна через время  $L/c$  порождает волну сжатия на торцах стержня, так как градиент давления на фронте этой отраженной волны направлен к центру стержня. Это произойдет спустя время  $t=L/2c$  после температурного скачка; к этому моменту стержень предельно растянут. Проведя аналогичные рассуждения для волн сжатия, получим, что ко времени  $t_n=2L/c$  стержень окажется в первоначальном (т. е. сжатом) состоянии. Таким образом, стержень осциллирует с периодом  $2L/c$  (что отличается от полученного ранее значения  $\pi L/c$  для модели пружины с сосредоточенной массой).

Проведенное рассуждение основано на так называемом методе эквивалентных нагрузок, впервые введенном Бёргрином [2]. Метод является геометрическим аналогом решения динамического уравнения упругости методом волн. Можно считать, что нагрев тела приводит к внутреннему давлению  $p = E_x T(t)$ ; каждая точка, где есть градиент давления, становится источником волн разрежения или скатия. Разрядка давления обычно начинается со свободных поверхностей тела и распространяется перпендикулярно к поверхности в глубь тела со скоростью звука. От абсолютно твердой поверхности волна отражается без поглощения; на границе раздела упругих сред волна частично отражается, а частично проходит. От свободной поверхности волна отражается с обратным знаком давления на ее фронте.

Анализ инерциальных напряжений в теле проводят одним из изложенных методов или с помощью прямого решения уравнения динамической упругости.

### § 3.2. ОДНОМЕРНЫЙ АНАЛИЗ НЕКОТОРЫХ ПРОСТЫХ ТЕЛ

**Тонкий однородный стержень конечной длины.** Задача о колебаниях свободного тонкого стержня имеет точное аналитическое решение. Динамическое уравнение упругости в терминах перемещений точек стержня в осевом направлении  $u(x, t)$  записывается так:

$$\frac{1}{c^2} \frac{\partial^2 u}{\partial t^2} = \frac{\partial^2 u}{\partial x^2} - \kappa \frac{\partial T}{\partial x}. \quad (3.4)$$

Его решение ищется в виде

$$u(x, t) = f(ct - x) + g(ct + x) \pm F(x, t),$$

где  $F(x, t)$  — частное решение, зависящее от неравномерности тепловыделения вдоль стержня, а  $f$  и  $g$  — прямая и обратная волны в стержне, сумма которых является общим решением однородного волнового уравнения.

Если температурный скачок записать в виде

$$T(x, t) = T_0 \left( \delta_0 \cos \frac{\pi x}{L} + \delta_a \right) T(t) \quad (3.5)$$

( $x=0$  — центр стержня), то при начальных условиях  $u(x, 0) = \dot{u}(x, 0) = 0$  и граничных условиях  $\partial u / \partial x = \kappa T$  при  $x = \pm L/2$ , решение будет иметь такой вид [3]:

$$F(x, t) = \delta_0 \kappa c \sin \frac{\pi x}{L} \int_0^t \sin \frac{\pi ct'}{L} T(t-t') dt';$$

прямая волна:

$$\begin{cases} 0, & -\frac{L}{2} < z < \frac{L}{2}; \\ -\kappa \delta_a T_0 \int_0^{z-L/2} T\left(\frac{z'}{c}\right) dz', & \frac{L}{2} < z < \frac{3L}{2}; \\ 0, & \frac{3L}{2} < z; \end{cases} \quad (3.6)$$

$$\begin{cases} 0, & -\frac{L}{2} < z < \frac{L}{2}; \\ g_1(z) = \kappa \delta_a T_0 \int_{\frac{L}{2}}^{z+L/2} T\left(\frac{z'-L}{c}\right) dz', & \frac{L}{2} < z < \frac{3L}{2}; \\ 0, & \frac{3L}{2} < z; \end{cases}$$

$$g_2(z) = g_1(z) - \kappa \delta_a T_0 \int_0^{z-3L/2} T\left(\frac{z'}{c}\right) dz', \quad \frac{3L}{2} < z < \frac{5L}{2}; \quad (3.6)'$$

$$g_3(z) = g_2(z) + \kappa \delta_a T_0 \int_{\frac{5L}{2}}^{z-3L/2} T\left(\frac{z'-L}{c}\right) dz', \quad \frac{5L}{2} < z < \frac{7L}{2}$$

и т. д.

Напряжения вычисляются по формуле

$$\sigma(x, t) = E (\partial u / \partial x - \kappa T). \quad (3.7)$$

Ниже дается анализ решения.

Влияние длительности импульса тепловыделения на динамические напряжения. Чтобы исключить статические температурные напряжения, вызванные неравномерностью нагрева по длине стержня, которые, очевидно, зависят от длительности импульса, положим  $\delta_0 = 0$  и  $\delta_a = 1$ . Тогда нетрудно получить выражение для механических напряжений в центре стержня:

$$\begin{cases} -T(t), & 0 < t < \frac{L}{2c}; \\ 2T\left(t - \frac{L}{2c}\right) - T(t), & \frac{L}{2c} < t < \frac{3L}{2c}; \\ 2T\left(t - \frac{L}{2c}\right) - 2T\left(t - \frac{3L}{2c}\right) - T(t), & \frac{3L}{2c} < t < \frac{5L}{2c}; \\ 2T\left(t - \frac{L}{2c}\right) - 2T\left(t - \frac{3L}{2c}\right) + 2T\left(t - \frac{5L}{2c}\right) - T(t), & \frac{5L}{2c} < t < \frac{7L}{2c}; \end{cases} \quad (3.8)$$

Очевидно, записанное выражение дает периодическую зависимость напряжения от времени для  $t > 0$ . Если  $\theta < L/c$ , то значение напряжений в центре стержня равно  $E\kappa T_0$  и достигается в интервале времени  $[L/2c, 3L/2c]$ . В этом интервале функция  $2T(t-L/2c)$  имеет максимум, равный 2. При  $\theta > L/c$  максимальное значение напряжения  $\sigma_m$  убывает с ростом  $\theta$ , но не монотонно. Интерференция упругих волн

выражение дает периодическую зависимость напряжения от времени для  $t > 0$ . Если  $\theta < L/c$ , то значение напряжений в центре стержня равно  $E\kappa T_0$  и достигается в интервале времени  $[L/2c, 3L/2c]$ . В этом интервале функция  $2T(t-L/2c)$  имеет максимум, равный 2.

При  $\theta > L/c$  максимальное значение напряжения  $\sigma_m$  убывает с ростом  $\theta$ , но не монотонно. Интерференция упругих волн

$$T(x, t) = \frac{\pi}{2} T_0 \cos \frac{\pi x}{L} T(t), \quad (3.8'')$$



Рис. 3.3. Зависимость максимального значения динамических напряжений в стержне от длительности импульса тепловыделения  $y = \theta c / L$  ( $\sigma_0 = E\kappa T_0$ ): — максимальные напряжения, сжатия во время импульса; —— никовые напряжения в свободных колебаниях

вызывает появление максимумов и минимумов в зависимости  $\sigma_m(\theta c / L)$ . Для частного случая

$$T(t) = \begin{cases} t^{1/2} & \text{для } t < 0; \\ 1 & \text{для } t > 0 \end{cases} \quad (3.8')$$

зависимость  $\sigma_m(\theta c / L)$  приведена на рис. 3.3.

Напряжения сжатия при  $t < 0$  для  $y = \theta c / L \geq 0.5$  определяются формулой  $\sigma_1 = -(1/2)yE\kappa T_0$ . Напряжение в пиках осцилляций после окончания импульса  $\sigma_2$ , как уже говорилось, меняется монотонно. При четных значениях  $y$ , начиная с  $y = 2$ , осцилляции стержня после окончания импульса вообще отсутствуют —

$$\sigma_1(x, t) = \frac{\pi}{2} \cos \frac{\pi x}{L} \begin{cases} -\frac{1}{\pi y} \sin \frac{\pi ct}{L} & \text{для } t < 0, \\ \frac{1}{\pi y} \left[ \sin \frac{\pi c}{L} (t - \theta) - \sin \frac{\pi ct}{L} \right] & \text{для } t \geq 0. \end{cases}$$

Анализируя это соотношение, нетрудно убедиться, что при  $y < 1$  (короткий импульс) нормированные напряжения достигают максимального значения в процессе свободных осцилляций (при  $t > 0$ ), причем они больше, чем в случае равномерного нагрева. Для  $y = 0$  (ступенчатый скачок температуры) максимальные динамические напряжения  $\sigma_m = (\pi/2)E\kappa T_0$ , где  $t/2 -$  коэффициент неравномерности тепловыделения в рассматриваемом примере. При длительном импульсе тепловыделения ( $y > 1$ ) зависимость  $\sigma_m(y)$  остается такой же, как и в случае равномерного нагрева стержня (см. рис. 3.3).

Случай сильно неравномерного тепловыделения, впервые рассмотренный в работе [3], имеет особенность, а именно: напряжения (и смещения точек) в стержне не образуют бегущей волны; все точки стержня осцилируют когерентно [см. (3.9)]. В смещении точек стержня разделяются пространственные и

где  $T_0$  — средний нагрев стержня. Так как  $\delta_c = 0$ , то и прямые и обратные волны исчезают [см. (3.6) и (3.6')] и смещения точек стержня  $u(x, t)$  определяются выражением

$$u(x, t) = \kappa c \frac{\pi}{2} T_0 \sin \frac{\pi x}{L} \int_0^t \sin \frac{\pi c}{L} t' \cdot T(t-t') dt' - T(t). \quad (3.9)$$

Теперь для нормированных напряжений получим

$$\sigma_n = \frac{\sigma(x, t)}{E\kappa T_0} = \frac{\pi}{2} \cos \frac{\pi x}{L} \left[ \frac{\pi c}{L} \int_0^t \sin \frac{\pi c}{L} t' \cdot T(t-t') dt' - T(t) \right]. \quad (3.10)$$

Для линейного скачка температуры [см. (3.8')] нормированные напряжения определяются таким соотношением:

$$T(t) = \begin{cases} t^{1/2} & \text{для } t < 0; \\ 1 & \text{для } t > 0 \end{cases} \quad (3.8')$$

временные переменные. Временная часть  $u(x, t)$  в формуле (3.9) получена как решение следующего уравнения:

$$\ddot{\xi} + \frac{c^2 \pi^2}{L^2} \xi = \kappa c^2 \frac{\pi^2}{2L} T_0 T(t).$$

Это не что иное, как уравнение движения осциллятора с собственной частотой колебаний  $\omega = \pi c/L$ , упругостью  $2E/L$ , подвергающегося воздействию внешней силы  $\kappa T E$  (масса осциллятора  $m = 2E/\omega^2 L$ ). Следовательно, использование при качественном рассмотрении явления теплового удара модели осциллирующей пружины с массой вполне оправдано. Более того, температурная обратная связь по реактивности в реакторе с тепловыделением  $(3.8'')$  точно описывается моделью простого одночастотного осциллятора, которая рассмотрена в гл. 2 [ср. формулы (2.27') и (3.9)]. В реакторах без отражателя поле нейтронов действительно сильно неравномерно; возможно, это и есть одна из главных причин того, что простая модель когерентно колеблющегося стержня дает неплохие результаты при описании динамики пульсирующего реактора.

**Оболочки сферические и цилиндрические.** В сферических и цилиндрических оболочках при равномерном нагреве упругие волны не могут распространяться вдоль поверхности (вследствие симметрии тела). Если к тому же оболочки тонкие, то радиальные напряжения не играют существенной роли вследствие очень высоких собственных частот осцилляций. Колебания же оболочек по радиусу и осцилляции касательных напряжений будут, очевидно, когерентными для всех точек оболочки. Бэртин [2] получил уравнения движения оболочек, подвергаемых быструму нагреву, в виде (3.3), где  $\hat{k}/m = \omega^2 = E/\rho R^2$  для короткой цилиндрической оболочки и  $\omega^2 = 2E/(1-\mu)\rho R^2$  — для сферической оболочки;  $\mu$  — коэффициент Пуассона,  $m = E/\omega^2 R$ ;  $R$  — радиус оболочки;  $u$  — изменение радиуса оболочки. Для бесконечно длинной цилиндрической оболочки можно использовать то же уравнение вида (3.3) с  $\omega^2 = E/(1-\mu^2)\rho R^2$ , но решение для  $u(t)$  следует домножить на  $(1+\mu)$ .

Для касательных напряжений в короткой цилиндрической оболочке имеем

$$\sigma_{\text{н}} = \sigma/E \kappa T_0 = u/u_0 - T(t), \quad (3.10')$$

где  $u(t)$  — решение уравнения (3.3);  $T(t)$  — форма температурного скачка, а  $u_0 = \kappa T_0 R$ .

В сферической оболочке и в бесконечно длинной цилиндрической оболочке

$$\sigma_{\text{н}} = (1-\mu) \sigma/E \kappa T_0 = u/u_0 - T(t). \quad (3.10'')$$

Решение уравнения колебаний для произвольной формы температурного скачка есть

$$u(t) = \kappa T_0 R \omega \int_0^t T(t') \sin \omega(t-t') dt'. \quad (3.9')$$

Естественно, что приведенные ранее решения для колебаний стержня согласно уравнению (3.3) при форме температурного скачка  $T(t) = (1-\cos pt)/2$  годятся для сферических и цилиндрических оболочек (см. рис. 3.1, а, б), если ввести соответствующие множители  $(1-\mu)$  или  $(1+\mu)$ .

Для формы температурного импульса вида (2.6'), который близок к реальному для самогасящего реактора, В. Ф. Колесов проинтегрировал уравнение (3.3) аналитически [4]. На стадии свободных колебаний после окончания импульса нормированное значение пика инерциальных напряжений для всех оболочек определяется выражением

$$\sigma_{\text{н}} = y \pi / s \mu y \pi, \quad (3.11)$$

где  $y = \omega/\alpha_0 = \omega/3,52$ .

В этом случае напряжения падают монотонно с увеличением  $y$  — отношения длительности импульса мощности реактора к периоду его собственных колебаний, в отличие от линейного или косинусоидального скачка температуры.

**Шар.** Динамическое уравнение термоупругости в сферической геометрии с угловой симметрией имеет вид

$$\frac{1}{r^2} \frac{\partial^2 u}{\partial r^2} + \frac{2}{r} \frac{\partial u}{\partial r} - \frac{2u}{r^2} = \frac{1}{c^2} \frac{\partial^2 u}{\partial t^2} + \frac{1+\mu}{1-\mu} \kappa \frac{\partial T}{\partial r}, \quad (3.12)$$

где  $\frac{1}{c^2} = \frac{\rho(1+\mu)(1-2\mu)}{E(1-\mu)}$ .

Запишем для сферы начальные и граничные условия:  $u(r, 0) = 0$ ;  $u(0, t) = 0$ ;  $\sigma_r(R, t) = 0$ ,

и компоненты тензора напряжений: радиальная

$$\sigma_{rr} = \rho c^2 \frac{\partial u}{\partial r} + \frac{\rho c^2 \mu}{1-\mu} \cdot \frac{u}{r} - \frac{E \kappa T(r, t)}{1-2\mu}, \quad (3.13)$$

касательные

$$\sigma_{\theta\theta} = \sigma_{\varphi\varphi} = \sigma_{rr} + \frac{E}{1+\mu} \left( \frac{u}{r} - \frac{\partial u}{\partial r} \right). \quad (3.13')$$

Решение для  $u(r, t)$  получено в работе [2] методом гармонического анализа при  $T(t)$  вида

$$T(t) = (T_0/2)(1 - \cos pt), \quad p = \pi/\theta. \quad (3.14)$$

Расширение сферы происходит подобно расширению оболочек, характер зависимости максимальной деформации от отношения длительности импульса нагрева к периоду первой гармоники собственных колебаний  $T_1 = 2\pi/\omega_1$  ( $\omega_1 = 2,668 \text{ c}/R$ ) близок к той же зависимости для оболочек. Расчет В. Ф. Колесова по аналогичной методике показал, что существенное значение имеет только первая гармоника (круговая частота второй гармоники  $\omega_2 = 6,092 \text{ c}/R$ ) [5].

На поверхности сферы максимальные значения тангенциальных напряжений достигаются, как обычно, при  $\theta = 0$  и равны

$$\sigma_{\text{qq}} = \frac{1}{1 - \mu} E_{\text{xt}} T_0, \quad \text{при } \theta/T_1 = 0,5, \quad \sigma_{\text{qq}} = \frac{0,6}{1 - \mu} E_{\text{xt}} T_0,$$

а при  $\theta/T_1 = 2$  снижаются до 3% максимума.

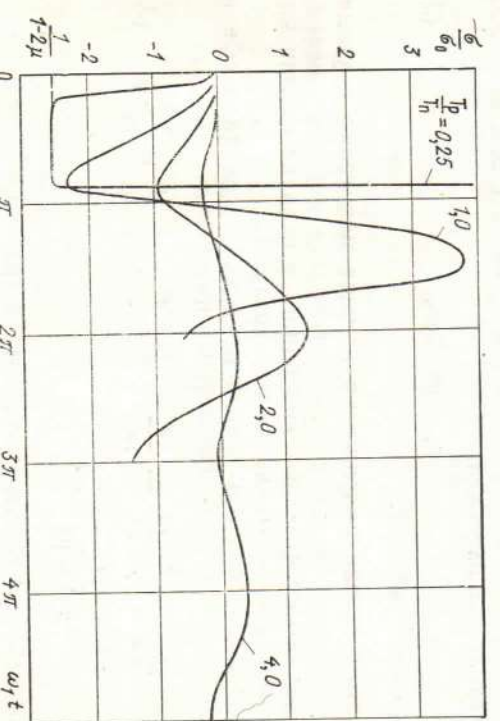


Рис. 3.4. Динамические напряжения в центре сферы [2] (см. пояснения к рис. 3.1)

В центре сферы картина напряжений совершенно другая (рис. 3.4). Для  $0/T_1 < 0,5$  значение напряжений сжатия постоянное в интервале  $[0, 0,85 \pi]$  изменения  $\omega_1 t$  и равно  $E_{\text{xt}} T_0 / (1 - 2\mu)$ . Это объясняется тем, что волна разрежения еще не успевает к этому времени дойти до центра сферы. После этого напряжения меняют знак и становятся очень большими. Физически это означает фокусирование волн разрежения в центре сферы. При  $\theta \rightarrow 0$  (мгновенный скачок температуры) напряжение стремится к бесконечности. Однако это не означает, что материал сферы должен разрушиться, ведь центральные напряжения изотропны и не дают смещающих деформаций. Существенное значе-

ние имеют лишь напряжения в некоторой окрестности центра. Начальные напряжения сжатия уменьшаются с ростом  $\theta/T_1$  почти так же, как это имеет место для стержней (см. рис. 3.3), а напряжения во время свободных осцилляций — быстрее и монотонно.

**Сферический слой (полый шар).** Для полого шара с внутренним и внешним радиусами  $R_1$  и  $R_2$ , нагреваемого по закону  $T(r, t) = T_1(r)T_2(t)$ , аналитическое решение, полученное с помощью разложения по собственным функциям, дано в работах [5; 6]. Полый шар в геометрическом смысле занимает промежуточное положение между сферической оболочкой и шаром. Поэтому для него с большим успехом применимо справедливое для однородного шара утверждение о том, что в осцилляциях существенна лишь первая гармоника.

**Кольцеобразный диск.** В работах [5, 6] приводится также решение динамического уравнения термоупругости для кольцеобразного диска:

$$\frac{\partial^2 u}{\partial r^2} + \frac{1}{r} \frac{\partial u}{\partial r} - \frac{u}{r^2} - \alpha(1 + \mu) \frac{\partial T}{\partial r} = \frac{1}{c^2} \frac{\partial^2 u}{\partial t^2}, \quad (3.14)$$

где  $c^2 = E/(1 - \mu^2)\rho$ , с граничными условиями

$$\frac{\partial u}{\partial r} + \mu \frac{u}{r} = \alpha(1 + \mu) T \Big|_{r=R_1} \Big. \Big|_{r=R_2}.$$

### § 3.3. РАСЧЕТ ДИНАМИЧЕСКИХ НАПРЯЖЕНИЙ В КОНСТРУКЦИОННЫХ ЭЛЕМЕНТАХ РЕАКТОРА

Напряжения, возникающие в топливных элементах импульсного реактора, передаются на крепежные детали реактора и герметизирующие оболочки. Рассмотрим две наиболее распространенные схемы композиции твэлов в импульсном реакторе и методы расчета эффектов теплового удара.

**Цилиндрический твэл в оболочке.** Сердечник твэла может быть сплошным или сегментированным и характеризуется величинами  $E_1, S_1, c_1, L_1$ , а оболочка —  $E_2, S_2, c_2, L_2$ ; здесь  $S_i$  — площадь поперечного сечения.

Сердечник на жестком основании. Если оболочка твэла крепится на опорной плите в нижней части, то этот случай эквивалентен стержню на жесткой подставке (рис. 3.5, a).

При быстром нагреве стержня-сердечника подставка (и сам сердечник) получают механический импульс. Значение импульса нетрудно определить, рассматривая процесс распространения упругих волн вдоль стержня и отражения их от его концов (метод эквивалентных нагрузок).

При мгновенном нагреве конец стержня, покоящийся на основании, давит на него с силой  $E_{\text{xt}} T_0 S$  в течение времени  $L/c$ ,

пока волна разрежения идет от свободного конца до основания. После этого давление стержня на основание становится равным нулю, а скорость всех точек стержня одинаковой, равной  $\kappa T_0/c$ . Стержень отделяется от основания, получив импульс

$$\sigma_2 = \begin{cases} \kappa T_0 E \frac{(t - L/c)}{\theta} & \text{при } \frac{L}{c} + \theta > t > \frac{L}{c}; \\ \kappa T_0 E & \text{при } t > \frac{L}{c} + \theta. \end{cases}$$

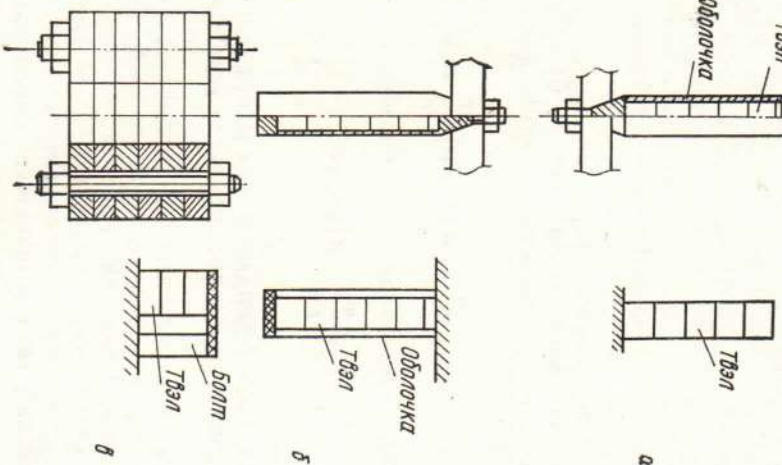


Рис. 3.5. Схемы крепления топливных элементов в реакторе:

*a* — твэл на жестком основании; *b* — твэл в оболочке, подвещенный сверху;

$I = mv = \kappa T_0 c L S \rho = \kappa T_0 E L S / c$ . Такой же результат получается, если рассматривать стержень как сжатую пружину с сосредоточенной массой. Равный импульс противоположного знака приобретает подставка.

При линейном характере нарастания температуры за время  $\theta$  давление стержня на подставку изменяется по закону

$$\sigma_1 = \begin{cases} \kappa T_0 E t / \theta & \text{при } t < \theta; \\ \kappa T_0 E & \text{при } t > \theta. \end{cases}$$

Волна разрежения, фронт которой доходит до основания стержня через время  $t = L/c$ , уменьшает давление на величину

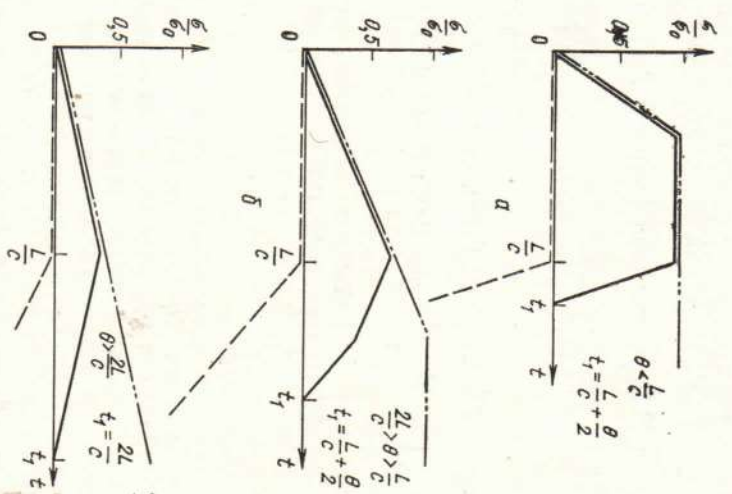


Рис. 3.6. Давление стержня на жесткую подставку при линейном характере нарастания температуры во времени в стержне  $T = T_0 t / \theta$ : — давление за счет нагрева; — — — суммарное давление в прямом и отраженном волне разрежения; — — — — результирующее давление ( $\sigma_0 = E \kappa T_0$ )

Отраженная волна разрежения дополнительно уменьшает давление на такую же величину. Стержень отделяется от основания в момент  $t_1$ , когда результирующее давление станет равным нулю (рис. 3.6).

Механический импульс, получаемый стержнем и подставкой после их разделения,

$$I = S \int_0^{t_1} \sigma dt = I_0 \begin{cases} (1 - y/4) & \text{при } y \leq 2; \\ 1/y & \text{при } y \geq 2, \end{cases} \quad (3.15)$$

где  $y = \theta c/L$ , а  $I_0 = \pi E T_0 L S/c$  — импульс в случае мгновенного нагрева. Таким же образом можно найти импульс для произвольной формы температурного скачка  $T(t)$ .

При неравномерном по длине стержня поле тепловыделения импульс определяется следующим соотношением (получено В. Л. Ломилзе [3]):

$$I = I_0 \begin{cases} 1 - \frac{y}{4} \left[ \delta_a + \frac{4\delta_0}{\pi y} \left( \frac{1 - 2 \sin(\pi y/2)}{\pi x} \right) \right] & \text{для } y < 2; \\ 1/y & \text{для } y \geq 2, \end{cases} \quad (3.15')$$

а для  $T(t)$  косинусоидальной формы и  $y < 2$

$$I = I_0 \left( 1 - \frac{\pi - 2}{2\pi} \delta_a y - \frac{\delta_0}{\pi} \left[ 1 + \frac{\cos(\pi y/2)}{y^2 - 1} \right] \right). \quad (3.16)$$

Из соотношения (3.15') следует, во-первых, что неравномерность нагрева сказывается на значении механического импульса только для быстрых температурных скачков ( $0 < y < 1$ ) и, во-вторых, что поправка к импульсу невелика — выражение в квадратных скобках в формуле (3.15') изменяется в пределах от 1 до 0,725 при всех возможных значениях  $\delta_a$ ,  $\delta_0$  и  $y$ .

В сегментированном (состоящем из таблеток) сердечнике картина распространения упругих волн может оказаться сложнее, так как при разделении сегментов появляются дополнительные свободные поверхности, где возникают новые волны разрежения или сжатия. Сегментированный стержень аналогичен однородному, если он всюду сжат; растягивающие усилия, естественно, через поверхности раздела таблеток не передаются.

Графический анализ, проведенный Бёргрином [7], а также точное решение В. Л. Ломилзе [8] показывают, что механический импульс сегментированного стержня определяется теми же соотношениями (3.15') в случае линейной зависимости температуры от времени для произвольной пространственной формы тепловыделения.

Нетрудно также убедиться (предлагается читателю в качестве упражнения), что при однородном тепловыделении, произвольной форме температурного скачка  $T(t)$  и  $y < 2$  механический импульс стержня и подставки не зависит от того, сегментирован стержень или он однороден.

Расчет скоростей отдельных таблеток сердечника после их разделения выполнен в работах [8, 10].

**Сердечник в упругой оболочке, подвещенный в ведущей оболочки, нигде не касаясь ее** цилиндрической поверхности. Для распространения упругих волн в системе стержень — оболочка решают роль параметр  $\Upsilon_{21} = S_2 E_{2c_1}/S_1 E_{1c_2}$ , называемый *динамической жесткостью оболочки* относительно сердечника. Случай очень жесткой оболочки ( $\Upsilon_{21} \gg 1$ ) эквивалентен только что рассмотренному варианту стержня на жестком основании. При этом инерциальные напряжения в самой оболочке незначительны, но на опоры передается механический импульс.

Рассмотрим картину распространения упругих деформаций в системе сердечник — оболочка для произвольного значения жесткости оболочки  $\Upsilon_{21}$  на основе модели эквивалентных нагрузок. Пусть сердечник мгновенно нагрет на  $T_0$  °С. На границе сердечника с оболочкой (на донышке оболочки) возникнет градиент давления  $E_1 \kappa T_0$ , и упругие волны разрежения начнут перемещаться в глубь стержня и оболочки со скоростью звука. Деформация материала вблизи границы раздела сред будет определяться (рассматриваем схему рис. 3.5, б) отношением величины перемещения границы к глубине проникновения волн разрежения, иначе говоря, отношением скорости перемещения границы к скоростям звука в средах:

$$\varepsilon_1 = v_{rp}/c_1 - \kappa T_0; \quad (3.17)$$

в оболочке

$$\varepsilon_2 = v_{rp}/c_2.$$

Из условия баланса упругих сил на границе (градиент давления должен быть равен нулю всюду, кроме фронта волны) определяется скорость перемещения границы  $v_{rp}$ :

$$\varepsilon_1 E_1 S_1 = -\varepsilon_2 E_2 S_2;$$

$$(v_{rp}/c_1 - \kappa T_0) E_1 S_1 = -(v_{rp}/c_2) E_2 S_2;$$

$$v_{rp} = \frac{E_1 \kappa T_0 S_1}{E_2 S_2 / c_2 + E_1 S_1 / c_1} = \frac{c_1 \kappa T_0}{1 + \Upsilon_{21}}. \quad (3.18)$$

Сравнивая (3.18) с выражением (3.1) для скорости расширения свободного стержня, видим, что наличие опоры (оболочки) уменьшает скорость расширения сердечника в  $1 + \Upsilon_{21}$  раз, где  $\Upsilon_{21} = E_2 S_2 c_1 / E_1 S_1 c_2$  — жесткость оболочки по отношению к сердечнику. Обычно  $\Upsilon_{21} < 1$ .

Теперь можно вычислить напряжение в оболочке:

$$\sigma_2 = \varepsilon_2 E_2 = E_2 \kappa T_0 c_1 / (1 + \Upsilon_{21}) c_1. \quad (3.19)$$

Импульс, полученный сердечником, пропорционален напряжению на торце сердечника, которое в случае конечного значения  $\gamma_{21}$  равно

$$\sigma_1 = \sigma_2 S_2 / S_1 = E_1 \kappa T_0 \gamma_{21} / (1 + \gamma_{21}).$$

Тогда механический импульс при опоре на оболочку с жесткостью  $\gamma$  равен

$$I(\gamma) = I(\infty) \frac{\sigma_1(\gamma)}{\sigma_1(\infty)} = I(\infty) \frac{\gamma}{\gamma + 1}, \quad (3.20)$$

где  $I(\infty)$  — импульс, полученный сердечником при опоре на жесткую подставку:  $I(\infty) = I_0$  [см. (3.15)]. Этот результат впервые был получен в работе [9]. В. Л. Ломидзе показал [3], что при произвольном  $\gamma$  и линейной зависимости тепловыделения от времени  $T(t) = T_0 t / \theta$  (или произвольном виде  $T(t)$ ), но однородном по длине сердечника тепловыделении и  $y < 2$ ) импульс, получаемый оболочкой после отделения сердечника от донышка, определяется тем же соотношением (3.20);  $I(\infty) = I$  [см. (3.15)].

Для мягкой оболочки ( $\gamma \ll 1$ ) механический импульс мал, однако становятся значительными инерциальные напряжения в оболочке (3.19). Согласно работе [3] пиковые значения инерциальных напряжений в оболочке рассчитываются по следующим формулам:

для линейного хода нарастания температуры ( $y = \theta c_1 / L$ )

$$\sigma_{2\max} = \frac{\kappa T_0 E_2 c_1}{(1 + \gamma_{21}) c_2} \begin{cases} \delta_a + \delta_0 \frac{\sin(\pi y/2)}{\pi y/2}, & 0 < y < 1; \\ 1/y, & y > 1, \end{cases} \quad (3.19')$$

для косинусоидальной формы температурного импульса, определяемого (3.14)\* ( $y = \pi c_1 / \rho L$ )

$$\sigma_{2\max} = \frac{\kappa T_0 E_2 c_1}{(1 + \gamma_{21}) c_2} \begin{cases} \delta_a + \delta_0 \frac{\cos \pi y/2}{1 - y^2}, & y < 1; \\ \frac{1 - \pi^2}{2 y^2}, & y \gg 1. \end{cases}$$

Напомним, что коэффициенты  $\delta_a$  и  $\delta_0$  определяют пространственную форму кривой тепловыделения [см. (3.5)];  $\delta_a = 1$ ,  $\delta_0 = 0$  — случай равномерного нагревания.

**Сердечник на пружинной подвеске.** Если сердечник твэла опирается на донышко оболочки через пружину, то на оболочку передается лишь незначительная доля упругой

\* При описании реального импульса нейтронов в реакторе косинусоидальной зависимости следует иметь в виду, что в качестве  $\rho$  следует принять величину  $\pi/1,79 \theta^{1/2}$ , где  $\theta^{1/2}$  — действительная полуширина вспышки реактора.

Энергии удара. Количественный анализ провели, используя предыдущие результаты распространения упругих волн в системе сердечник — оболочка. Скорость передачи продольных упругих деформаций в пружине есть, очевидно,  $c_3 = \sqrt{\frac{\kappa}{k/m}}$ , где  $k$  — статическая жесткость единицы длины пружины (эквивалент величины  $ES$  для стержня);  $m$  — масса единицы длины пружины. Относительная деформация пружины при расширении сердечника, согласно формулам (3.17) и (3.18), равна

$$\varepsilon_3 = c_3 \kappa T_0 / (c_1 (1 + \gamma_{21})),$$

где  $\gamma_{21} = \hat{k} c_1 / E_1 S_1 c_3$  — относительная динамическая жесткость пружины и сердечника. Максимальная относительная деформация в оболочке, на которую сердечник давит через пружину:

$$\varepsilon_2 = \frac{\varepsilon_3 c_3}{c_2 (1 + \gamma_{21})} = \frac{c_1 \kappa T_0}{(1 + \gamma_{21}) (1 + \gamma_{23}) c_2}. \quad (3.21)$$

Так как динамическая жесткость пружины по отношению к сердечнику  $\gamma_{21}$  и к оболочке  $\gamma_{23} = \hat{k} c_2 / E_2 S_2 c_3$  очень мала, то (3.21) можно упростить:

$$\varepsilon_2 \approx \frac{c_1 \kappa T_0}{c_2} \gamma_{23}.$$

Теперь максимальные динамические напряжения в оболочке при наличии пружины запишутся в виде

$$\sigma_{2\text{пр}} = \varepsilon_2 E_2 = E_2 \kappa T_0 \gamma_{23} c_1 / c_2. \quad (3.21')$$

Легко видеть, что эти напряжения во много раз меньше напряжений в оболочке при непосредственном контакте ее с сердечником твэла  $\sigma_2$ , определяемых формулой (3.19):

$$\sigma_{2\text{пр}} / \sigma_2 = \gamma_{23} (1 + \gamma_{21}).$$

Для примера укажем, что при параметрах пружины  $\hat{k} = 10 \text{ Н}$ ,  $m = 1,0 \text{ г}/\text{см}$  и для стальной оболочки сечением  $10 \text{ мм}^2$  динамическая жесткость пружины  $\gamma_{23} = 0,0015$ . Даже для пружины в лежатся раз более жесткой и большей по массе  $\gamma_{23}$  все-таки много меньше 1.

Плотная посадка сердечника в оболочку. Это случай наиболее реальный, и в то же время наиболее трудный для анализа. Ограничимся приближенным рассмотрением. Модель показаться на первый взгляд, что плотная посадка сердечника в оболочку без контакта его с донышком оболочки должна снизить эффект теплового удара. Действительно, оболочка не получит механического импульса, если контакт сердечника и оболочки осуществляется только по боковой поверхности и причем симметричен относительно центра масс сердечника, а

продольные силы, возмущающие оболочку, не могут быть большие силы трения покоя между ней и сердечником. Но обеспечить на практике такую посадку, которая давала бы хороший контакт оболочки и сердечника при небольшой силе трения между ними, оказывается невозможным, если учесть импульсный характер тепловыделения в твэле.

Плотная посадка дает преимущество (более низкие значения динамических напряжений в оболочке) лишь в том случае, когда сила трения между оболочкой твэла и плотно посаженным в нее сердечником существенно меньше упругой силы, возникающей в оболочке, на донышко которой свободно опирается сердечник. Это условие запишем для мгновенного импульса тепловыделения:

Сила трения  $\ll$  Упругая сила

$$\downarrow \quad \downarrow$$

$$P_{\text{нл}} f_{\text{тр}} \pi dL \ll \frac{E_2 \alpha T_0 \pi d c_1}{(1 + \gamma) c_2}, \quad (3.22)$$

или

$$P_{\text{нл}} \ll \frac{E_2 \alpha T_0 \delta c_1}{(1 + \gamma) f_{\text{тр}} L c_2},$$

где  $\delta$  — толщина оболочки;  $P_{\text{нл}}$  — нормальное давление сердечника на оболочку по боковой поверхности;  $f_{\text{тр}}$  — коэффициент трения скольжения на боковой поверхности сердечник—оболочка;  $d$  и  $L$  — диаметр и длина сердечника.

Из-за импульсного характера тепловыделения температура сердечника значительно изменяется за каждую вспышку мощности в реакторе, в то время как температура оболочки не успевает измениться сразу же после импульса. В результате в соответствии с пульсацией температуры стержень расширяется, и давление его на оболочку также пульсически изменяется. Условие статического равновесия упругих сил в оболочке и сердечнике дает для амплитуды изменения контактного давления следующую формулу:

$$\Delta P_{\text{нл}} = \frac{\alpha T_0}{(d/2\delta + \mu_2)/E_2 + (1 - \mu_1)/E_1}. \quad (3.23)$$

Если до импульса  $P_{\text{нл}} = 0$ , то давление сразу после импульса будет определяться формулой (3.23). Подставив (3.23) в неравенство (3.22), получим новое условие, при котором сила трения при движении сердечника, плотно посаженного в оболочку, меньше упругих сил, возникающих в оболочке, на донышке которой сердечник свободно покоятся:

$$\frac{d/2\delta + \mu_2}{E_2} + \frac{1 - \mu_1}{E_1} \gg \frac{(1 + \gamma_{21}) f_{\text{тр}} L c_2}{E_2 \delta c_1}. \quad (3.24)$$

Обычно  $d/\delta \gg 1$  и  $E_1 \leq E_2$ . Тогда неравенство (3.24) редуцируется:

$$d \gg (1 + \gamma_{21}) f_{\text{тр}} L c_2 / c_1 \approx f_{\text{тр}} L,$$

или

$$f_{\text{тр}} \ll d/L. \quad (3.25)$$

Отношение диаметра сердечника к его длине обычно не более 0,1; в таком случае для выполнения неравенства (3.25) коэффициент трения скольжения должен быть порядка 0,01 и меньше. При трении металла по металлу без смазки  $f_{\text{тр}}$  всегда больше 0,1. Значит, осциллирующий сердечник будет растягивать оболочку, как если бы он представлял с ней одно целое.

На основе выведенных ранее соотношений для однородного стержня (см. § 3.2) нетрудно получить максимальные напряжения в оболочке, если использовать усредленные упругие параметры:

$$\bar{E} = \frac{E_1 S_1 + E_2 S_2}{S_1 + S_2} = \frac{E_1 S_1}{S_1 + S_2} (1 + \gamma_{\text{ст}}),$$

где  $\gamma_{\text{ст}}$  — статическая жесткость оболочки:  $\gamma_{\text{ст}} = E_2 S_2 / E_1 S_1 = \gamma_{21} (c_2/c_1)$ ;

$$\bar{c} = \sqrt{\bar{E}/\rho}; \quad \bar{\rho} = \frac{\rho_1 S_1 + \rho_2 S_2}{S_1 + S_2}.$$

Приведем лишь окончательные результаты. При мгновенном нагреве максимальная продольная деформация оболочки  $\varepsilon_2 = 2\alpha T_0 / (1 + \gamma_{\text{ст}})$ , максимальное напряжение

$$\sigma_{2x} = 2E_2 \alpha T_0 / (1 + \gamma_{\text{ст}}). \quad (3.26)$$

При более медленном нагреве напряжения уменьшаются, но не до нуля, как в случае свободной посадки стержня в оболочку, а до половины значения, определяемого формулой (3.26):

$$\sigma_{2x}(y \rightarrow \infty) \rightarrow E_2 \alpha T_0 / (1 + \gamma_{\text{ст}}). \quad (3.27)$$

Это понятно, так как нагретый в результате вспышки сердечник расширяется вдоль и увлекает за собой оболочку независимо от инерции собственной и оболочки. Сравним осевые напряжения в оболочке [см. (3.26) и (3.27)] с осевыми инерциальными напряжениями в оболочке в случае свободной посадки, определяемыми формулой (3.19). Заменим в (3.19) динамическую жесткость  $\gamma_{21}$  ее выражением через  $\gamma_{\text{ст}}$ . Тогда вместо (3.19) получим

$$\sigma_2 = E_2 \alpha T_0 / (c_2/c_1 + \gamma_{\text{ст}}). \quad (3.28)$$

Так как  $c_2/c_1$  обычно не менее 1 (и не более 3), то  $\sigma_2$  из (3.26) всегда по крайней мере в два раза больше, чем  $\sigma_2$  из (3.28)\*.

\* Напомним, что это справедливо всегда, кроме случая, когда  $f_{\text{тр}} \ll d/L$ .

Следует заметить, что при плотной посадке оболочка испытывает кольцевую деформацию из-за увеличения контактного давления при каждой вспышке [см. (3.23)]. Кольцевые напряжения в оболочке равны

$$\sigma_{\Phi_2} = \Delta P_{\text{н}} d / 2\delta \leq E_2 \kappa_1 T_0, \quad (3.29)$$

т. е. того же порядка, что и осевые напряжения.

До сих пор рассматривался плотный контакт сердечника и оболочки по всей поверхности. Если они контактируют в небольшой области (это ближе к реальной ситуации, так как сердечник или оболочка всегда имеют некоторую эллипсность в сечении, конусность по длине или изгиб), то расчет осложняется. Рассмотрим наиболее простой случай — контакт в двух местах, симметричных относительно центра сердечника, по боковой поверхности на линии  $l$ . В этом случае вместо условия (3.25) имеем

$$f_{\text{тр}} \ll d/l, \quad (3.30)$$

которое выполняется при условии  $2l < d$ . Напомним, что неравенство (3.30) устанавливает условие слабого влияния продольных колебаний сердечника на оболочку. Кольцевые напряжения в оболочке из-за радиального расширения сердечника, конечно, остаются такими же, как и для плотной посадки по всей поверхности [см. (3.29)].

Если распределение контактного давления по боковой поверхности несимметрично относительно центра массы сердечника, то последний в результате температурного скачка получит механический импульс. После каждой вспышки реактора сердечник будет немного продвигаться в сторону более слабого контакта и рано или поздно достигнет пробы твэла. Поэтому данный случай эквивалентен стержню с контактом по торцу (см. § 3.2).

**Топливные пластины, скрепленные болтами.** Эквивалентная схема топливных пластин, скрепленных болтами, изображена на рис. 3.5, б. Во время импульса тепловыделения топливные пластины получают механический импульс, отталкиваясь друг от друга; кинетическая энергия движущихся со скоростью  $v_0$  пластин преобразуется в потенциальную энергию растянутого болта, т. е.

$$(\rho_2 S_2 L / 2 + \rho_1 S_1 L / 2) v_0^2 = \sigma^2 S_2 L / 2E_2,$$

где  $S_2, S_1$  — сечение болта и пластины соответственно, а  $\rho_2$  и  $\rho_1$  — плотности материала болта и пластины. Отсюда максимальные напряжения в болтах

$$\sigma = v_0 (\rho_1 E_2)^{1/2} (\rho_2 / \rho_1 + S_1 / S_2)^{1/2}. \quad (3.31)$$

Таким образом, напряжения зависят от скорости топливных пластин после их разделения. Расчет скорости был проведен в предыдущем разделе.

При быстром скачке температуры  $T_0$  все пластины движутся с одинаковой скоростью  $v_0 = c_1 \kappa_1 T_0$ . Тогда

$$\sigma = (E_1 E_2)^{1/2} \kappa_1 T_0 (\rho_2 / \rho_1 + S_1 / S_2)^{1/2}. \quad (3.31')$$

Для линейной формы температурного скачка

$$v_0 = c_2 T_0 \begin{cases} 1 - y/4, & 0 < y \leq 2; \\ 1/y, & y \geq 2, \end{cases} \quad (3.32)$$

где  $y = 20c/L$ , а  $L$  — высота активной зоны.

Бёргрин [7] проанализировал точность приближенного соотношения (3.31) и показал, что оно дает весьма хорошие результаты при  $S_2/S_1 \leq 0.4$ , т. е. когда сечение топливной пластины, приходящееся на один болт, более чем в 2,5 раза превышает сечение болта.

Если  $S_2 \ll S_1$ , то механические напряжения в болте обратно пропорциональны его диаметру  $d_{\text{гл}}$ . Это относится к гладкой части болта; в резьбовой части, где минимальный диаметр  $d_{\text{рез}} < d_{\text{гл}}$ , напряжения выше и выражаются так:

$$\begin{aligned} \sigma_{\text{рез}} &= \sigma_{\text{гл}} \frac{d_{\text{гл}}^2}{d_{\text{рез}}^2} = \sqrt{E_1 E_2} \kappa_1 T_0 \frac{2 \sqrt{S_1}}{\sqrt{\pi d_{\text{гл}}^2}} \frac{d_{\text{гл}}^2}{d_{\text{рез}}^2} = \\ &= \sqrt{E_1 E_2} \kappa_1 T_0 2 \sqrt{\frac{S_1}{\pi}} \frac{d_{\text{гл}}}{d_{\text{рез}}^2}. \end{aligned} \quad (3.33)$$

Для снижения напряжений в резьбовой части сечение гладкой части болта рекомендуется уменьшать до размера минимального сечения болта. В этом случае напряжения в болте при  $S_2 \ll S_1$  равны

$$\begin{aligned} \sigma &= \sqrt{E_1 E_2} \kappa_1 T_0 \sqrt{\frac{S_1}{S_2}} = \\ &= \sqrt{E_1 E_2} \kappa_1 T_0 2 \sqrt{\frac{S_1}{\pi}} \frac{1}{d_{\text{рез}}^2} \end{aligned} \quad (3.33')$$

и, следовательно, меньше в  $d_{\text{гл}}/d_{\text{рез}}$  раз, чем в резьбовой части обычного болта.

### § 3.4. ЧИСЛЕННЫЕ РЕШЕНИЯ ДИНАМИЧЕСКИХ УРАВНЕНИЙ ТЕРМОУПРУГОСТИ

Для геометрических тел, в которых упругие волны могут распространяться более чем в одном направлении (цилиндр конечной высоты, ограниченная пластина и т. п.), или в слу-

чае сложной зависимости температуры от координат и времени численное решение динамических уравнений термоупругости рациональнее аналитического.

Чаще всего при расчете динамических напряжений в многомерных телах ограничиваются решением уравнения, записанного для расширения тела только в одном направлении. Такие уравнения имеют знакомый вид [см. (3.4) и (3.14)], но другие коэффициенты при члене, содержащем градиент температуры. Для цилиндра, осилялирующего только в радиальном направлении, вместо  $\kappa(1+\mu)$  в уравнении (3.14) стоит коэффициент  $\kappa(1+\mu)/(1-\mu)$ ; появляется отличная от нуля осевая составляющая тензора напряжений:

$$\sigma_{xx} = \sigma_{rr} - \frac{E}{1+\mu} \frac{\partial u}{\partial r}; \quad (3.34)$$

$c^2 = \frac{E(1-\mu)}{(1+\mu)(1-2\mu)\rho}$ , а  $\sigma_{rr}$  и  $\sigma_{\varphi\varphi}$  определяются по-прежнему выражениями (3.13) и (3.13').

Для пластины и цилиндра, удлиняющихся по направлению оси  $x$ , уравнение упругости имеет вид (3.4) с коэффициентом при  $\partial T/\partial x$   $\kappa' = \kappa(1+\mu)/(1-\mu)$  и скоростью звука  $c^2 = E(1-\mu)/(1+\mu)(1-2\mu)\rho$ . Составляющие тензора  $r$ -напряжений в этом случае равны

$$\left. \begin{aligned} \sigma_{xx} &= c^2 \rho \frac{\partial u}{\partial x} - \frac{E \kappa T}{1-2\mu}; \\ \sigma_{zz} &= \sigma_{yy} = \sigma_{xx} - \frac{E}{1+\mu} \frac{\partial u}{\partial x} \end{aligned} \right\} \quad (3.35)$$

Метод численного решения одномерных нестационарных разностного алгебраического уравнений в частных производных.

Такой же метод можно применить и для анализа динамической упругости сложных систем, включающих и топливные, и конструкционные элементы. Например, если твэл в виде стержня заключен в оболочку, которая, в свою очередь, закреплена на опорной решетке, то совместное решение уравнений вида (3.4) для твэла, оболочки и решетки с подходящими условиями на границах сред даёт удовлетворительные результаты.

Программа для численного расчета динамических деформаций в топливных дисках ИРСД в  $(r, z)$  геометрии была разработана Дж. Рашером\*. Его алгоритм учитывает температурную зависимость свойств материала и может описывать не только упругое, но и вязко-упругое и пластичное поведение топлива.

Метод решения для цилиндра бесконечной длины подробно разработан С. И. Сердюковой [11]. Обсудим некоторые результаты численных расчетов, выполненных для твэлов реактора SPR II, представляющих собой круглые пластины с центральным отверстием [12, 13] (см.

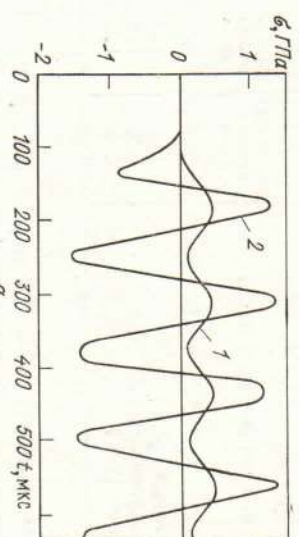


Рис. 3.7. Результаты одномерного расчета теплового удара в топливной пластине реактора SPR II для импульса  $\Delta T = 420^\circ\text{C}$  и  $0_{1/2} = 41$  мкс [14]:  
 $a$  — тангенциальные напряжения ( $1 \text{ ГПа} = 10^9 \text{ кгс}/\text{м}^2$ );  $b$  — изменение радиуса. Кривые 1 относятся к внешней боковой поверхности пластины, кривые 2 — к поверхности центрального отверстия

рис. 1.2). Тангенциальные напряжения достигают максимальных значений на внутренней поверхности пластины (рис. 3.7, a); интересно, что в начале осцилляций размер центрального отверстия уменьшается (рис. 3.7, b); при медленном нагреве, очевидно, отверстие всегда увеличивается. В расчетах по SPR II было исследовано влияние формы импульса тепловыделения. Как уже отмечалось, более краткое нарастание температуры приводит к увеличению напряжений. Расчитанные значения тангенциальных напряжений для трех видов функций  $T(t)$  —

\* Reusner J. A. Analysis of Internal Heating Shock Effects in Reactor Fuel Elements. — «Nucl. Engng and Design», 1972, v. 18, p. 213.

линейного, косинусоидального и  $Q(t)$  по (2.6') [ $Q(t)$  — энерговыделение в реакторе] даны в табл. 3.1.

Таблица 3.1  
Нормированные значения пиковых напряжений  
 $\sigma/E \times T_0$

Вид температурного скачка	Внутренняя поверхность	Наружная поверхность
Линейный, (3.8')	1,2 3,2 4,4	1,0 1,2 1,5
Косинусоидальный, (3.2') $Q(t)$ по (2.6')		

Сравнение данных табл. 3.1 с рис. 3.4 дает основания считать, что динамическая термоупругость цилиндрической пластины с отверстием гораздо ближе к термоупругости сплошной сферы, чем тонкой оболочки. Однако снижение напряжений в центральной части за счет отверстия все-таки заметно.

При использовании одномерных уравнений получаются повышенные значения перемещений и напряжений, так как не учитывается снижение внутреннего давления в среде из-за расширения в других направлениях. Многомерные уравнения термоупругости значительно сложнее в решении и требуют заметных затрат машинного времени — в 10—20 раз больше, чем одномерные уравнения. Поэтому многомерные расчеты не нашли еще широкого применения на практике, тем более что тенденция к завышению напряжений в одномерных расчетах дает всегда желанный запас прочности материала.

### § 3.5. СРАВНЕНИЕ РАСЧЕТНЫХ И ЭКСПЕРИМЕНТАЛЬНЫХ ДАННЫХ ПО ТЕПЛОВЫМ УДАРАМ

Простые методы аналитических оценок (см. § 3.2 и 3.3) успешно используются в практике конструирования импульсных реакторов. Степень точности этих приближений была определена для гээлов реактора APRFR (рис. 3.8). Рассчитаны и измерены тангенциальные напряжения на внешней поверхности топливной пластины. Завышение в 1,5—2 раза, которое дает формула (3.10'), происходит из-за того, что не учитывается расширение пластины в осевом направлении. Формула (3.31) для напряжений в болтах, скрепляющих топливные пластины, дает погрешность не хуже 30% во всей области, где сохраняется упругость материала. Для энергии импульса более  $(2,4 \div 2,6) \cdot 10^{17}$  делений материала топливных пластин станов-

ится пластичным, вследствие чего напряжение перестает быть линейной функцией энерговыделения во вспышке.

На реакторе ИБР в Дубне измерены динамические напряжения в стальной оболочке твэла после нейтронной вспышки энергией  $\sim 10^{15}$  делений, что соответствует нагреву делящегося материала (плутония) в испытуемом твэле на  $15^\circ$  [15]. Сердечник твэла свободно покоялся на доньшке оболочки, укрепленной в верхней части (см. рис. 3.5, б). Длина сердечника

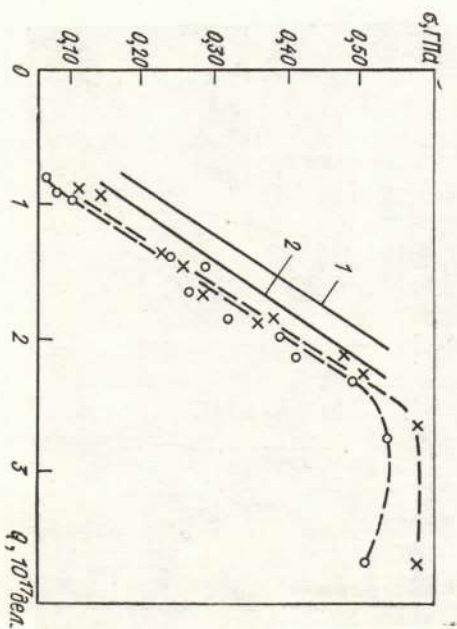


Рис. 3.8. Сравнение экспериментальных и аналитических пиковых значений динамических напряжений в реакторе APRFR [14]:  
1 — рассчитанные по формуле (3.10') тангенциальные напряжения в твэле; 2 — рассчитанные по формуле (3.31) продольные напряжения в болтах; О — напряжения в твэле (эксперимент);  $\times$  — напряжения в болтах (эксперимент)

была 125 мм; период собственных колебаний ( $T_n = 2L/c = 150$  мкс) в несколько раз превышал длительность импульса мощности реактора (36 мкс). В этом случае максимальные инерциальные напряжения в оболочке в соответствии с (3.19') ( $y < 1$ ) равны  $\sim 6$  МПа\*, что хорошо согласуется с измеренным значением  $\sim 5$  МПа, если учесть плохое зрение термоупругих констант. Между прочим, динамические напряжения в стальной оболочке без топливного сердечника, помещенной в активную зону, оказались отличными от нуля:  $\sim 1-2$  МПа (рис. 3.9). По-видимому, источник этих напряжений — нагрев стальной оболочки мгновенными  $\gamma$ -квантами во время импульса

\* 1 Па (паскаль) — единица измерения механического напряжения в системе СИ; 1 МПа (мегапаскаль)  $\approx 0,1$  кгс/мм<sup>2</sup>.

мощности. Затухание колебаний стальной оболочки твэла ИБР-30 происходило за 10 мс.

Наиболее полное и достоверное сравнение теоретических и экспериментальных данных было проведено при анализе рефактора SPR II, топливные пластины которого представляют собой круглые диски с центральным отверстием. Размеры пластины: внешний диаметр — 205 мм, внутренний — 41 мм, толщи-

170—180 мкс как в эксперименте, так и в расчете для двумерной геометрии. Расчет для одномерной геометрии занимает период до 130 мкс. Максимальное радиальное расширение пластины (см. рис. 3.11) сильно завышается в последнем случае и лишь немнога занижается для двумерной геометрии. Наибольшие различия наблюдаются в области центрального отверстия; расширение топлива на внутреннем радиусе пла-

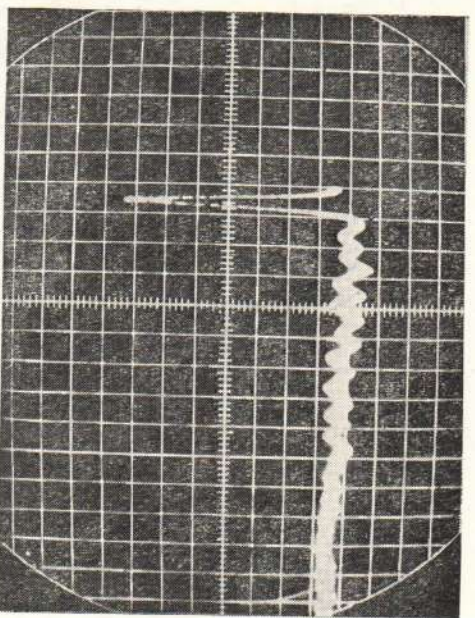


Рис. 3.9. Осциллографмма динамических напряжений в стальной оболочке цилиндрического твэла реактора ИБР-30 (выброс луча осциллографа вниз — наводка от импульса мощности на детектор напряжений)

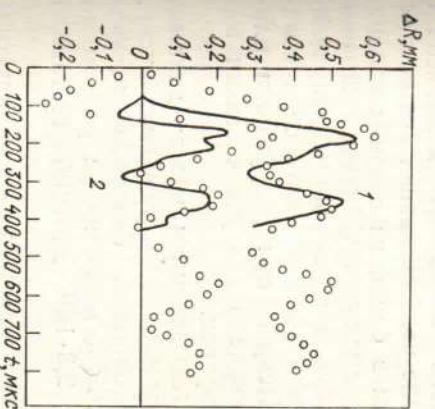


Рис. 3.10. Радиальное расширение топливной пластины реактора SPR II ( $\Delta T = 509^\circ C$ ,  $\theta_{1/2} = 38$  мкс):  
○ — эксперимент; — расчет для двумерной геометрии; I — внешний радиус;  
— — расчет для радиуса центрального отверстия

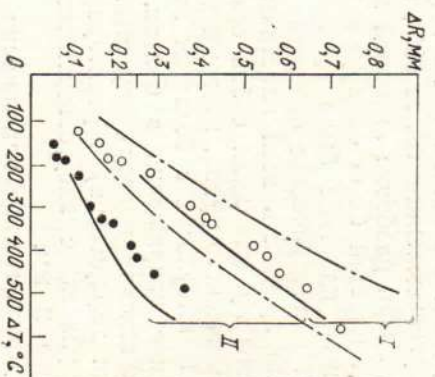


Рис. 3.11. Зависимость максимального радиального расширения топливной пластины реактора SPR II от энергии вспышки при различных радиусах: I — внешний радиус; II — внутренний радиус; ○, ● — эксперимент; — расчет для одномерной геометрии; — — расчет для двумерной геометрии

на — 34 м. Расчеты и эксперименты проводились [13, 14, 16, 17] в широком диапазоне изменения энерговыделения в импульсе (нагрев от 100 до  $560^\circ C$ ); при этом длительность импульса изменялась в пределах от 100 до 32 мкс. Численные расчеты выполнены как по одномерным уравнениям, так и для двумерной геометрии. Результаты приведены на рис. 3.10, 3.11 для радиальных смещений внешней и внутренней поверхности топливной пластины. В расчетах форма импульса тепловыделения была представлена в виде (2.6); учитывалась неравномерность тепловыделения вдоль радиуса пластины.

Сильное различие экспериментальных и расчетных данных в интервале 0—120 мкс (см. рис. 3.10) объясняется чувствительностью детекторов к перемещению к импульсу излучения. Отсутствие на экспериментальной кривой высоких частот — следствие плохого разрешения измерительной схемы. Основная гармоника радиальных колебаний пластины имеет период

стороны увеличивается с ростом интенсивности вспышек быстрее, чем предсказывает теория. Возможно, здесь оказывается изменение свойств материала пластины при высоких температурах или в интенсивных радиационных полях\*.

### § 3.6. О ПРОЧНОСТИ ЭЛЕМЕНТОВ РЕАКТОРА В УСЛОВИЯХ ТЕПЛОВОГО УДАРА

**Факторы, влияющие на прочность.** Последствия теплового удара в импульсных реакторах на быстрых нейтронах имеют целый ряд внешних проявлений. Прежде всего, это растрескивание топливных пластин в местах наибольших напряжений.

\* Дж. Рошер, приняв во внимание зависимость свойств урана от температуры, а также явления вязкости и пластичности, получил точное согласие расчета и эксперимента на реакторах SPR II и SPR III.

Характерный пример — разрушение топливных пластин реактора SPRG (см. рис. 1.2). Один из импульсов этого реактора с предельным энерговыделением ( $\Delta T = 50^\circ\text{C}$ ) сопровождался сильным грохотом, похожим на выстрел из ружья, и снопом искр, вылетающих из активной зоны (наблюдались на экране телевизора) [18]. Внешний осмотр не выявил существенных деформаций или поломок механической части реактора. На реакторе в дальнейшем было получено несколько импульсов с энерговыделением более  $600^\circ\text{C}$ , после чего проведена его инспекция. При разборке активной зоны в одной из средних топливных пластин была обнаружена радиальная трещина. Именно в этой пластине было просверлено в радиальном направлении цилиндрическое отверстие под термопару, которое и ослабило прочность всей пластины. Искры при разрушении пластин представляли собой сгорающие в воздухе частицы металлического урана, который пирофорен.

В импульсах с большим энерговыделением иногда динамические напряжения в болтах, скрепляющих урановые диски, превосходят предел текучести. Удлинение болтов (пластическая деформация) в реакторе APRFR после цикла работы на импульсах с энергией выделением  $2,3 \cdot 10^7$  делений составило более 2 мм.

Динамические напряжения могут передаваться на приводы регулирующих стержней, вызывая преждевременный износ или поломку зубьев шестерен, подшипников и т. д. При испытании APRFR на разрушение был замечен прогиб самих регулирующих стержней.

Воздействие циклических напряжений на материалы активной зоны импульсного реактора усугубляется при наличии коррозии. Очиги коррозии в металле являются источником развития микротрещин. Разрушение корродирующего материала в напряженном состоянии называется коррозионным растрескиванием. Сплавы урана с молибденом, наиболее широко применяемые в качестве топлива импульсных реакторов, весьма подвержены влиянию коррозионного растрескивания.

Впервые коррозионное растрескивание наблюдалось примерно 20 лет назад на образцах из сплава U с 10% Mo (по массе). Через сутки после изготовления образца в форме цилиндрического стержня методом холодной прокатки он распределялся, главным образом в осевом направлении. Еще один пример действия коррозионного растрескивания: после испытания реактора APRFR на импульсах интенсивностью выше проектной активная зона оказалась деформированной, и извлечение скрепляющих болтов из уран-молибденового сплава было затруднено. Когда же их удалось освободить, то они разрушились. Это примеры разрушения под влиянием совместного воздействия остаточных напряжений и атмосферной коррозии.

В импульсах с большого числа циклов. Обычно полное количество вспышек порядка 1000. Для ИРПД, напротив, именно циклическая прочность является определяющей. При частоте следования импульсов, скажем, 50 Гц и времени работы реактора 1000 суток количество импульсов оказывается равным  $4,3 \cdot 10^9$ . Так как осцилляции твэла продолжаются в течение некоторого времени после импульса мощности, то полное число циклов напряжения равно примерно  $10^{11}$ .

ИРПД, проектируемые на значительную среднюю мощность, имеют тонкие цилиндрические твэлы в металлической оболочке. Прочность топливных сердечников не играет роли в этом случае; существенно лишь сохранение целостности оболочки.

**Меры по смягчению тепловых ударов.** Прежде всего рассматрим возможность уменьшения инерциальных напряжений в топливе импульсного реактора, которые определяют, в первую очередь, последствия теплового удара. Эти напряжения пропорциональны комплексу  $E\varepsilon/c_p T_0$ . Подогрев топлива за время нейтронной вспышки  $T_0 = Q/c_p \rho V$ , где  $c_p$ ,  $\rho$ ,  $V$  — теплоемкость, плотность и объем топлива. Значит, при заданном тепловыделении в единице объема топлива эффекты теплового удара чувствительны к параметрам ядерного материала реактора через их безразмерный комплекс  $E\varepsilon/c_p$  (табл. 3.2). К сожалению, обычно при проектировании реактора инженер-физик вынужден руководствоваться другими критериями при выборе ядерного топлива, например радиационной стойкостью.

Таблица 3.2  
Приблизительные значения комплекса  $E\varepsilon/c_p \rho$  для некоторых ядерных материалов при температуре  $T$

Материал (сплав)	$R_{\text{U}} (\delta\text{-фаза})$	$R_{\text{U}}(\delta) + 1\% \text{Ga}$	$R_{\text{U}}(\delta) + 4\% \text{Ce}$	$R_{\text{UO}_2}$	$U(\alpha) + 1,5\% \text{Mo}$	$U(\gamma) + 10\% \text{Mo}$
$E\varepsilon/c_p \rho$	-0,072	0,090	~0	0,26	0,70	0,30
$T, ^\circ\text{C}$	400	400	400	1500	500	500

Жизнедеятельности ограничивать его мощность могут как динамические напряжения в топливе, так и напряжения в конструкционных деталях. Для ИРСД определяющими являются напряжения в топливных пластинах, так как всегда имеется больше возможностей для улучшения прочностных характеристик болтов и опор реактора, чем для выбора типа топлива.

Циклический характер напряжения материалов в ИРСД не оказывает существенного влияния на их прочность ввиду небольшого числа циклов. Обычно полное количество вспышек порядка 1000. Для ИРПД, напротив, именно циклическая прочность является определяющей. При частоте следования импульсов, скажем, 50 Гц и времени работы реактора 1000 суток количество импульсов оказывается равным  $4,3 \cdot 10^9$ . Так как осцилляции твэла продолжаются в течение некоторого времени после импульса мощности, то полное число циклов напряжения равно примерно  $10^{11}$ .

теплофизическими свойствами, а также наличием опыта по использованию данного топлива, необходимостью обеспечить отрицательный температурный коэффициент реактивности и т. д.; при возможности выбрать топливо с минимальным (или даже нулевым) значением параметра  $E_{\text{х/с}}/c_{\text{пр}}$  значительно облегчаются требования к циклической прочности элементов активной зоны.

1. Итак, первая мера по снижению эффектов теплового удара — *выбор топлива с подходящими характеристиками*.

2. Инерциальные напряжения в топливе зависят от формы тела и его размеров. Малые тела обладают меньшей механической инерцией, а поэтому в них меньше инерциальные напряжения. В шаре или цилиндре упругие волны фокусируются в центре тела, что приводит к значительным напряжениям. Наиболее разгруженными оказываются стержни и тонкие оболочки. При длине стержня  $L < \theta c/6$  напряжения в топливе не превышают  $0,1E_{\text{х}}T_0$ . Поэтому загрузка цилиндрических твэлов кроткими сегментами с развязкой между ними в виде лисков из мягкого неделящегося материала или газового зазора может существенно снизить эффекты теплового удара. Сегменты топливных элементов могут даже находиться в контакте друг с другом, но, если площадь контактирующей поверхности намного меньше поперечного сечения твэла, упругая волна существенно ослабляется. Это использовано в реакторах SPR-II и SPR-III, где топливные диски соприкасаются друг с другом только по небольшой площади, а в остальной части между ними сохраняется зазор для обеспечения свободного температурного расширения дисков (см. рис. 1.2). В результате этого нагрузки на болты снижаются; в формуле (3.31) для напряжений в болтах в качестве  $S_1$  следует использовать только площадь контактирующих поверхностей тепловыделяющих дисков.

Таким образом, вторая мера по снижению теплового удара — *выбор подходящей формы и размеров твэлов*.

3. Наконец, *выравнивание нейтронного поля в активной зоне* реактора уменьшает максимальный нагрев топлива за импульс при сохранении интенсивности вспышки и, естественно, снижает инерциальные нагрузки. В ИРСД достижению этой цели способствует экспериментальная полость в центральной части активной зоны. Для реактора APRFR было подсчитано, что при наличии полости диаметром 5 см инерциальные напряжения в топливе в 1,3 раза меньше, чем в случае однородной активной зоны при одинаковом энерговыделении за вспышку.

Влияние неравномерности тепловыделения по длине цилиндрического твэла на инерциальные напряжения отчетливо демонстрируется формулой (3.19').

Выбор материала топлива, а также формы и размеров топливных сердечников обычно ограничен. Например, значительное уменьшение коэффициента температурного расширения приводит к снижению отрицательного мощностного эффекта реактивности и в итоге — к уменьшению устойчивости ИРПД. В ИРСД вообще недопустим чрезвычайно малый температурный коэффициент реактивности; топливо с нулевым значением же может использоваться, по-видимому, только в реакторах с отрицательным доплеровским коэффициентом реактивности.

Поэтому основное значение в борьбе с вредным влиянием тепловых ударов придается таким мерам, которые способствуют снижению напряжений в конструкционных деталях реактора, позволяя в то же время топливу расширяться и осциллировать.

4. Это, прежде всего, *закрепление осциллирующих деталей в местах, где динамические смещения минимальны* или вообще отсутствуют. Приведем два примера. Активная зона реактора Godiva IV, имеющая форму цилиндра, фиксируется в трех С-образных стальных скобах (рис. 3.12), каждая из которых охватывает реактор сверху и снизу. Вследствие симметрии в центральной горизонтальной плоскости отсутствуют смещения; крепление скоб к опорам реактора осуществлено в этой области, благодаря чему последние не подвергаются вибрациям. Другой пример. В реакторе VIPER сердечники цилиндрических твэлов подвешиваются к стальной оболочке в средней части (см. рис. 1.4). В этом случае колебания и расширение топлива ничем не ограничиваются, а в оболочке твэла и других деталях реактора динамические напряжения малы (остаются лишь эффекты, связанные с нагревом оболочки у-квантами, и термические напряжения при остыании реактора). Повесить сердечник в оболочке можно путем плотной посадки в центральной части.

5. Радикальной мерой уменьшения инерциальных напряжений в оболочке цилиндрического твэла (а также при подвеске компактной активной зоны ИРСД на опорах) является *пружинная (рессорная) подвеска*. На оболочку твэла или опоры реактора передается в этом случае лишь малая доля энергии удара (см. § 3.3). Рессорные подвески успешно используются в ИРСД. Например, топливные пластины реактора Godiva IV (см. рис. 3.12) зажаты в С-образных опорах через стальное кольцо, специальная форма которого придает ему свойства пружины. При использовании в твэлах ИРПД пружинных подвесок появятся другие проблемы: усталость пружины и возможность колебаний сердечника на пружине с низкой частотой. Поэтому вопрос о целесообразности применения пружин в ИРПД с большой средней мощностью следует пока считать открытым.

6. В цилиндрическом твэле передача механического импульса на опорные конструкции реактора и их выбрасывание существенно уменьшаются также при плотной посадке топливного сердечника в оболочку. Для сегментированного сердечника, состоящего из таблеток длиной  $l \ll \theta c$ , этот вывод безусловно уменьшит отношение поверхности пластин, приходящейся на один болт, к сечению болта [см. (3.3)]. Профилирование болта также ведет к снижению напряжений [см. (3.31')].

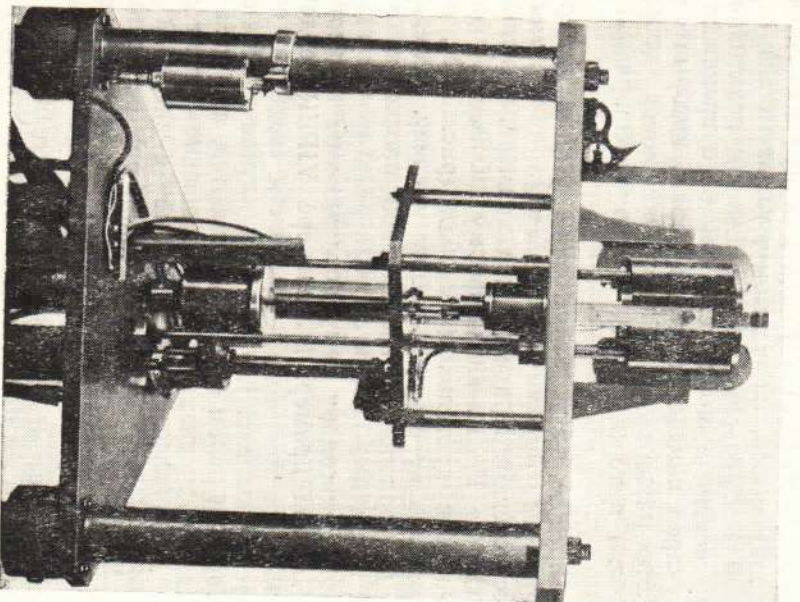


Рис. 3.12. Реактор Codiva IV. Активная часть, находящаяся выше верхней полки треножной опоры, состоит из урановых топливных дисков, скрепленных тремя С-образными скобами через пружинящее кольцо. Блок аварийной защиты находится в выведенном положении под верхней полкой

ловен; для сердечника однородного это верно только в случае симметричного распределения контактного давления по длине твэла. Следует иметь в виду, что плотная посадка не уменьшает напряжений в самой оболочке твэла (см. § 3.3).

7. Ряд инженерно-конструкторских мер, направленных на снижение инерциальных напряжений, непосредственно сле-

дует из формул теоретического анализа теплового удара. Например, увеличение отношения толщины оболочки к диаметру цилиндрического твэла увеличивает ее жесткость и ведет к снижению напряжений [см. (3.19)], уменьшение напряжений в болтах, скрепляющих топливные пластины, способствует уменьшению отношения поверхности пластины, приходящейся на один болт, к сечению болта [см. (3.3)]. Профилирование болта также ведет к снижению напряжений [см. (3.31')].

8. *Ликвидация концентраторов напряжений* как способ увеличения прочности приобретает особое значение для активных зон импульсных реакторов. Дело в том, что процесс разрушения при циклических нагрузках начинается с микротрещин, которые прежде всего возникают вблизи концентраторов напряжений. Пример тому — растрескивание топливных пластин SPR II — был приведен в начале данного параграфа. При модернизации реактора в пластинах была проделана щель в области больших напряжений (см. рис. 1.2), в результате чего при дальнейшей эксплуатации разрушений не наблюдалось. Демпфирующие и рессорные узлы необходимо устанавливать на пути распространения упругих волн деформации перед ответственными элементами, такими, как приводы стержней управления, детекторы нейтронов и т. д.

9. Повысить прочность конструкций импульсного реактора можно не только снижением амплитуды переменных инерциальных напряжений или квазистатических термоупругих, но и *уменьшением средних напряжений* (постоянной составляющей механических напряжений). Предел выносимости материала при циклическом нагружении зависит от постоянной составляющей цикла  $\sigma_0$  [19]\*. Если об близка к  $\sigma_0$  — пределу временной прочности, то материал разрушается даже при очень небольших циклических нагрузлениях; напротив, при  $\sigma_0 = 0$  допустимая амплитуда цикла напряжений достаточно велика (обычно эта величина обозначается  $\sigma_{-1}$ , и ее значение приводится в справочниках). Это особенно существенно для ИРПД, в которых значительная средняя мощность предопределяет высокие статические напряжения за счет температурных перепадов и давления газа осколков деления.

10. И, наконец, нельзя забывать о коррозионном растрескивании. Так как за коррозию ответственны прежде всего кислород, а также водород и пары воды, то *помещение реактора в атмосферу сухого азота, углекислого или инертного газа* желательно, а в случае топлива из уран-молибденового сплава — необходимо.

\* Предел выносимости зависит также от числа циклов нагружения  $N$ . Рассуждения в тексте относятся к какому-либо определенному значению  $N$ .